

تحلیل مورفولوژیکی و مورفودینامیکی مئاندرهای رودخانه شلمان‌رود، استان گیلان

رضا اسماعیلی^{*}؛ راحیل دلیری^۱

۱- گروه جغرافیا، دانشگاه مازندران، بابلسر، ایران

پذیرش مقاله: ۱۳۹۷/۵/۲۸

تأیید نهایی مقاله: ۱۳۹۸/۲/۱۶

چکیده

رودخانه‌های مئاندری دینامیک فعالی داشته و دائمًا در حال تغییر و دگرگونی هستند. اما فعالیت‌های انسان تغییراتی را در این فرایندها ایجاد می‌نماید. در این تحقیق روند تغییرات مورفولوژیکی رودخانه شلمان‌رود (شرق گیلان) در طی یک دوره ۵۱ ساله بین سال ۱۳۴۶ تا ۱۳۹۷ مورد تحلیل و بررسی قرار گرفته است. برای انجام این کار از عکس‌های هوایی سال‌های ۱۳۴۶ و ۱۳۷۳ و همچنین تصاویر گوگل ارث سال‌های ۱۳۸۲ و ۱۳۹۷ استفاده شد. پارامترهای هندسی رودخانه (مورفومتری) شامل طول کanal، طول موج، زاویه مرکزی، دامنه موج و شعاع قوس اندازه‌گیری شدند. پارامترهای مورفودینامیک شامل مهاجرت جانبی کanal، میزان فعالیت کanal و میزان همپوشانی کanal مورد بررسی قرار گرفتند و سپس مورفولوژی کanal و مدل‌های مختلف مهاجرت کanal مورد ارزیابی قرار گرفتند. نتایج نشان داد میانگین مقادیر پارامترهای هندسی پیچانرودها طی دوره ۵۱ ساله تفاوت مشخصی نداشتند. پارامترهای مورفودینامیک تغییرات کاهشی مشخصی را تجربه کردند. میزان مهاجرت جانبی کanal در دوره ۱۳۴۶-۷۳ بسیار زیاد بوده اما در دوره‌های بعد شدیداً کاهش یافته و میزان همپوشانی کanal افزایش یافته است. مورفولوژی تغییرات مئاندر هم در دوره اول تغییرات محسوسی داشته و در دوره‌های دوم و سوم تغییرات ناچیزی داشته و الگوی کلی مهاجرت تغییر کرده است. این قسمت از رودخانه شلمان‌رود در طی دوره‌های مورد بررسی از تعادل دینامیک به تعادل استاتیک تغییر یافته است.

واژه‌های کلیدی: شلمان‌رود، پیچان‌رود، مورفودینامیک رود، گیلان.

مقدمه

می‌دهد که آگاهی و درک تغییرات مورفولوژی پیچان رودها و دینامیک طبیعی سیستم‌های رودخانه‌ای برای اهداف برنامه‌ریزی، حفاظت و بازسازی کanal‌های رودخانه‌ای بسیار مهم است بازسازی کanal‌های رودخانه‌ای (Hooke and Yorke, 2010) مطالعات علمی مئاندرها بیش از چهل سال سابقه دارد. با گسترش عکس‌های هوایی و تصاویر ماهواره‌ای بررسی تغییرات پیچان رودها هم افزایش یافته و تحقیقات متعددی در زمینه‌های مرتبط صورت گرفته است. در خصوص مورفومتری پیچان رودها و ویژگی‌های هندسی آنها می‌توان به کارهای یمانی و حسین‌زاده (۱۳۸۳)، بیاتی خطیبی (۱۳۹۳)، رضایی‌مقدم و همکاران (۱۳۹۳)، کهربائیان و همکاران (۱۳۹۳)، اصغری سراسکانرود (۱۳۹۵)، پیروزی‌زاده و پیروزی‌نژاد (۱۳۹۷)، رضایی‌مقدم و همکاران (۱۳۹۷)، یمانی و همکاران (۱۳۹۷)، Yousefi et al, (۱۳۹۷) و سلطانی و همکاران (۱۳۹۷) و (۲۰۱۶) اشاره نمود. در گروه دیگر از مطالعات، دینامیک جانبی (مورفودینامیک) کanal‌های مئاندری مورد بررسی قرار گرفته است که از این میان می‌توان تحقیقات انجام شده توسط Hooke ، Nicoll and Hickin (2010) ، (2007) ، Magdaleno and Fernández-Yuste (2011) Schuurman et al . Morais et al. (2016) Zhou et al. (2017) ، Li et al. (2017) ، (2016) ، خیری‌زاده و همکاران (۱۳۹۷)، اسفندیاری و همکاران (۱۳۹۷) و جباری و رحیمی (۱۳۹۷) را نام برد. در این تحقیق، ضمن مطالعه ویژگی‌های هندسی پیچان رودهای شلمان‌رود (استان گیلان)، تغییرات مورفودینامیک و تحلیل مورفولوژیک این رودخانه مورد بررسی قرار گرفت.

پیچان رودها دینامیک فعالی داشته و می‌توانند در سطح دشت سیلابی جابجا شوند. مهاجرت پیچان رودها از روابط متقابل میان جریان آب، حمل رسوب و شکل کanal (پلانفرم کanal و Seminara, 2006). میزان تغییرات و جابجایی این کanal‌ها با شبیه و مقاومت کناره‌ها در ارتباط است. مقاومت کناره هم تحت تأثیر مواد تشکیل دهنده کرانه، پوشش گیاهی، کاربری اراضی، نوع سنگ و ساختمان لایه‌ها قرار دارد (حسین‌زاده و اسماعیلی، ۱۳۹۴). رودخانه‌ها به طور پیوسته در زمان و فضا با نوسانات دبی و رسوب تعديل می‌شوند و حاصل آنها حرکات جانبی و عمودی است. این حرکات، پویایی اکولوژیکی را تنظیم نموده و تضمین کننده ارزش و تنوع سیستم‌های طبیعی هستند (Ollero, 2010). بنابراین وقوع تغییرات در رودخانه‌ها، طبیعی بوده و یک عامل حیاتی در عملکرد سیستم رودخانه‌ای محسوب می‌شود (Brierley and Fryirs, 2005) که فعالیت‌های انسان به صورت بالقوه می‌تواند موجب تغییر آن شود. در طول قرن اخیر دینامیک سیستم‌های رودخانه‌ای به واسطه فعالیت‌های انسانی نظری تغییرات کاربری اراضی، شهرنشینی، بهسازی و انحراف کanal، سدسازی و برداشت شن و ماسه تغییر کرده است و این تغییرات منجر به تغییر جریان آب و رسوب و به دنبال آن مورفولوژی کanal و کیفیت آب رودخانه‌ها شده است (حسین‌زاده و همکاران، ۱۳۹۷). از این رو، مورفودینامیک پیچان رودها در الگوها و فرایندهای رسوبگذاری و فرایندهای هیدرولوژیکی و اکولوژیکی محیط‌های دشت سیلابی نقش مهمی دارد (Güneralp et al, 2012). مباحث فوق نشان

مواد و روش‌ها

برای مطالعه‌ی پیچان‌رودها در شلمان‌رود، عکس‌های هوایی سال‌های ۱۳۴۶ و ۱۳۷۳ با مقیاس ۱:۲۰۰۰۰ و تصاویر گوگل ارث سال ۲۰۰۳ (۱۳۸۲) و ۲۰۱۸ (۱۳۹۷) مورد استفاده قرار گرفتند. برای هریک از سال‌های مذکور، مسیر رودخانه از روی عکس‌های هوایی و تصاویر گوگل ارث ترسیم و رقومی شدند. ارزیابی تغییرات پیچان‌رودهای شلمان‌رود برای سه دوره ۱۳۷۳-۱۳۴۶، ۱۳۸۲-۱۳۹۷ و ۱۳۸۲-۱۳۹۶ و در سه قالب مورفومتری، مورفو‌دینامیک و مورفو‌لوزی انجام شد که در ادامه تشریح می‌شود.

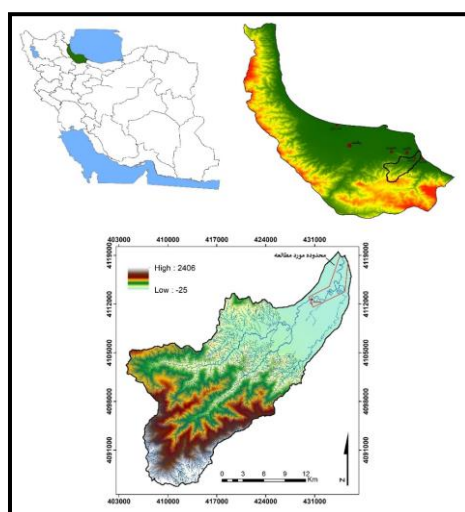
اندازه‌گیری‌های کمی پیچان‌رودها با استفاده از نرم افزارهای اتوکد و Arc GIS 10.3 و محاسبات آماری با نرم افزار SPSS 25 صورت گرفت.

مورفومتری

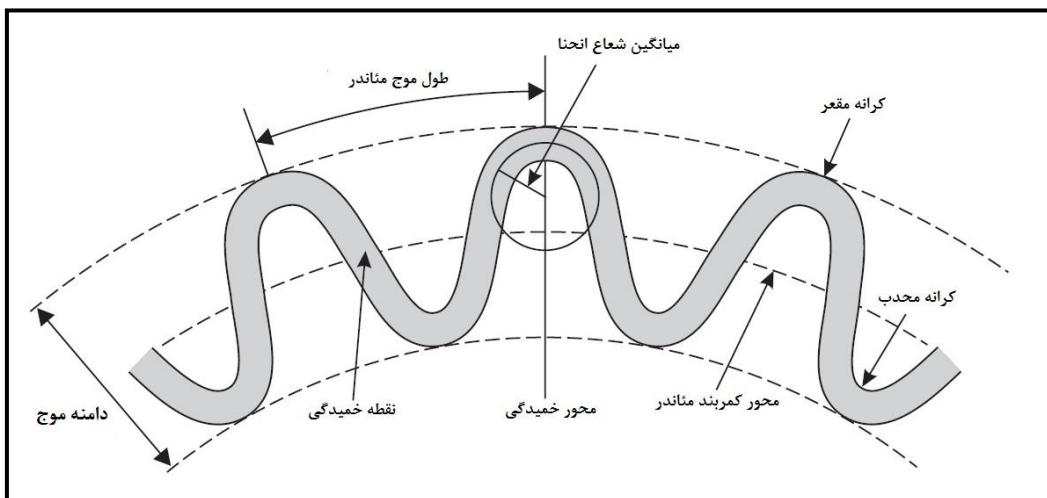
برای مورفومتری کanal رود متغیرهای طول موج، دامنه موج، شعاع انحنا و زاویه مرکزی قوس مطابق شکل ۲ اندازه‌گیری شدند و متغیر طول مئاندر با محاسبه نسبت طول کanal به تعداد قوس‌های کanal به دست آمد.

منطقه مورد مطالعه

حوضه آبریز شلمان‌رود در قسمت شرقی استان گیلان در بین عرض‌های جغرافیایی ۳۶ درجه و ۵۴ دقیقه تا ۳۷ درجه و ۱۳ دقیقه شمالی و طول‌های جغرافیایی ۴۹ درجه و ۵۴ دقیقه تا ۵۰ درجه و ۱۹ دقیقه شرقی در محدوده بین رودسر و لنگرود قرار دارد (شکل ۱). مساحت این حوضه تا دریای خزر ۴۶۰ کیلومتر مربع و حداقل ارتفاع آن ۲۴۰۰ متر است. میانگین بارش سالانه در ایستگاه‌های شلمان و کلچال که هردو در محدوده جلگه‌ای حوضه قرار دارند به ترتیب ۱۱۱۶ و ۱۱۶۸ میلیمتر است. تقریباً ۴۰ درصد بارش حوضه در فصل پاییز ریزش می‌کند. میانگین دبی سالانه شلمان‌رود ۷/۶۶ مترمکعب در ثانیه و میانگین دبی با دوره بازگشت ۲ ساله ۱۳۹ مترمکعب در ثانیه است (وزارت نیرو، ۱۳۹۰). در این مطالعه بخشی از رودخانه شلمان‌رود در محدوده جلگه آبرفتی که دارای الگوی پیچان‌رودی است به طول تقریباً ۲۰ کیلومتر از شهر شلمان تا دریا مورد بررسی قرار گرفته است. بستر و کرانه رود در این محدوده از رسوبات ریزدانه رس-سیلت و ماسه تشکیل شده است.



شکل ۱: موقعیت جغرافیایی حوضه آبریز شلمان‌رود و محدوده مورد مطالعه



شکل ۲: شاخص‌های مورفو دینامیکی پیچان رود (حسین‌زاده و اسماعیلی، ۱۳۹۴)

استفاده از رابطه ۱ و شکل ۳ محاسبه شد
Magdaleno and همکاران، ۱۳۹۶ و
. (Fernández-Yuste, 2011

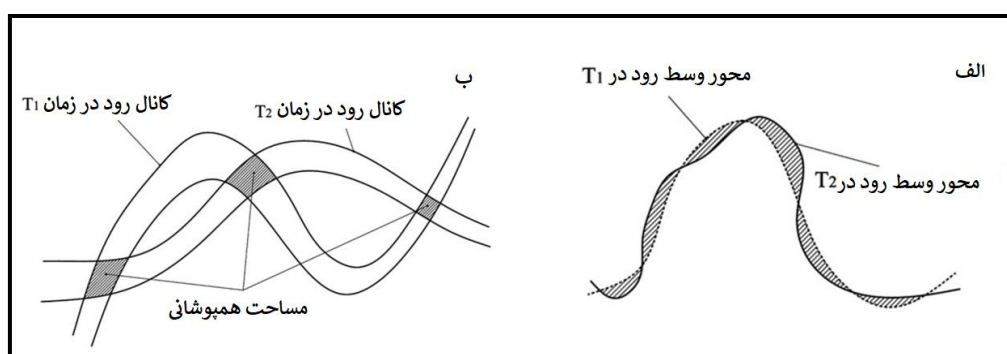
رابطه (۱)

$$CA = (SA) / (LT1) / (T2-T1)$$

: میزان فعالیت کanal، SA: مساحت جابجا شده در طی دو زمان (محدوده هاشور خورده در شکل ۳ الف)، LT1: طول کanal در زمان اول، T1: زمان اول (سال اول) و T2: زمان (سال دوم).
میزان همپوشانی کanal، با روی‌هم‌گذاری مسیر رودخانه در دو دوره و اندازه‌گیری مساحت سطوح مشترک کanal محاسبه شد (شکل ۳ ب).

مورفو دینامیک پیچان رود

برای بررسی مورفو دینامیک پیچان رودی شلمان-رود سه پارامتر مهاجرت جانبی کanal، میزان فعالیت کanal و همپوشانی کanal براساس روش Magdaleno and Fernández-Yuste (2011) محاسبه شد. برای اندازه‌گیری میزان مهاجرت جانبی کanal، محور مرکزی کanal در یک دوره با دوره بعد روی هم‌گذاری شده و به فواصل تقریباً ۵۰۰ متری مقدار جابجایی در جهت عمود بر کanal محاسبه شد. برای اندازه‌گیری میزان فعالیت کanal، ابتدا خط وسط رودخانه برای هر یک از سال‌های مورد مطالعه ترسیم گردید و سپس با روی‌هم‌گذاری آنها مساحت جابجا شده کanal با

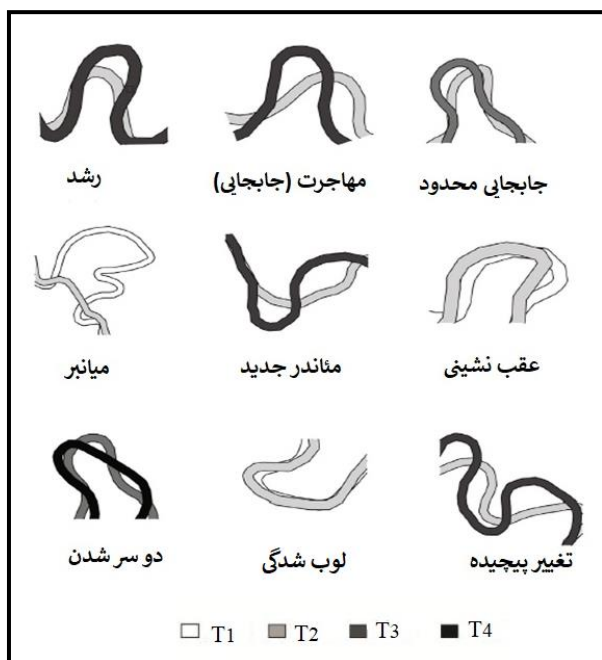


شکل ۳: (الف) اندازه‌گیری میزان فعالیت کanal، (ب) اندازه‌گیری میزان همپوشانی کanal رود در دو دوره‌ی زمانی مختلف (Magdaleno and Fernández-Yuste, 2011)

جديد و تغييرات پيچيده است (Morais et al., 2016) که برای هر قوس در هر دوره با بررسی عکس‌های هوایی و تصاویر گوگل ارث طبقه‌بندی شدند، همچنین پیچ و خم‌های با ثبات نیز شمارش شدند.

مورفولوژی

مکانیسم‌های تغییرات پیچان‌رودها در دوره‌های مختلف براساس روش هوک و هاروی (۱۹۸۳) در نه کلاس طبقه‌بندی شدند (شکل ۴) که عبارتند از: رشد، مهاجرت (جابجایی)، جابجایی محدود، لوب شدگی (گسترش نامتقارن در یک گوشه از قوس)، دو سر شدن، میانبر، عقب نشینی، مئاندر



شکل ۴: مکانیسم‌های تغییر کanal براساس روش هوک و هاروی، ۱۹۸۳ (Morais et al., 2016)

۱۳۹۷ به ترتیب، ۲۸۶، ۳۵۲، ۳۴۹ و ۳۴۸ متر اندازه‌گیری شد. دامنه موج در سال ۷۳ نسبت به سال ۴۶ افزایش داشته است و از سال ۱۳۷۳ به بعد کاهش یافته است (شکل ۵). در مجموع دامنه موج از سال ۴۶ تا ۹۷، تقریباً ۶۲ متر افزایش داشته است. شعاع قوس از سال ۱۳۴۶ تا ۱۳۹۷ به ترتیب، ۱۳۱، ۱۶۵، ۱۵۳ و ۱۵۶ متر اندازه‌گیری شد. شعاع قوس در سال ۷۳ نسبت به سال ۴۶ افزایش یافته اما در دو دورهٔ بعدی کاهش داشته است. در مجموع شعاع قوس از سال ۴۶ تا ۹۷، تقریباً ۲۵ متر افزایش داشته است.

نتایج

مورفومتری پیچان‌رودها
میانگین و انحراف معیار پارامترهای هندسی پیچان‌رودهای شلمان‌رود شامل طول و دامنه موج، شعاع قوس، زاویه مرکزی قوس و طول مئاندر در جدول ۱ نشان داده شده است. طول موج مئاندر در سال‌های ۱۳۴۶، ۱۳۷۳، ۱۳۸۲ و ۱۳۹۷ به ترتیب، ۵۴۲، ۴۸۲، ۵۸۳، ۴۷۴ متر اندازه‌گیری شد. غیر از سال ۱۳۷۳ که طول موج مقداری افزایش داشته است در سال‌های بعد مقدار آن کاهش یافته است. دامنه موج از سال ۱۳۴۶ تا

گیری شد. طول کanal در طی ۵۱ سال ۲۹۳۷ متر افزایش یافته است. زاویه مرکزی از سال ۱۳۴۶ تا ۱۳۹۷ به ترتیب، ۱۰۴، ۱۱۵، ۱۱۵ و ۱۲۰ اندازه‌گیری شد. در مجموع زاویه مرکزی از سال ۴۶ تا ۹۷ تقریباً ۱۶ درجه افزایش یافته است.

طول مئاندر از سال ۱۳۴۶ تا ۱۳۹۷ به ترتیب، ۵۸۳، ۵۴۲ و ۴۷۴ متر اندازه‌گیری شد. غیر از سال ۷۳ در دوره‌های بعد طول مئاندر کاهش یافته است. این کاهش تقریباً ۶۸ متر بوده است. طول کanal از سال ۱۳۴۶ تا ۱۳۹۷ به ترتیب، ۱۶۹۱، ۱۷۱۸۱، ۱۹۸۵۲ و ۱۹۸۴۷ متر اندازه-

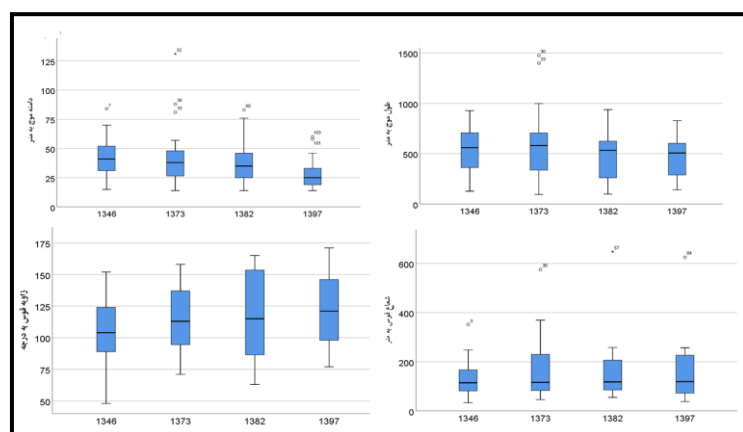
جدول ۱: مقادیر آماری پارامترهای مورفومتری پیچان‌رودهای شلمان‌رود

۱۳۹۷		۱۳۸۲		۱۳۷۳		۱۳۴۶		سال پارامتر
SD	میانگین	SD	میانگین	SD	میانگین	SD	میانگین	
۲۰۰.۴	۴۷۵	۲۲۴	۴۸۲	۳۲۴.۸	۵۸۳.۶	۲۱۵.۷	۵۴۲.۵	طول موج
۱۹۵	۳۴۸	۱۸۳	۳۴۹	۱۸۶.۸	۳۵۳	۱۵۴	۲۸۶	دامنه موج
۱۲۱	۱۵۶	۱۱۷	۱۵۳	۱۱۶	۱۶۶	۷۳.۶	۱۳۱.۴	شعاع قوس
--	۴۷۵	--	۴۶۲	--	۵۸۴	--	۵۴۲.۵	طول مئاندر
--	۱۹۸۴۷	--	۱۹۸۵۲	--	۱۷۱۸۱	--	۱۶۹۱	طول کanal
۲۷.۲	۱۲۰.۷	۳۴.۲	۱۱۶	۲۷.۷	۱۱۵.۳	۲۹.۳	۱۰۴.۳	زاویه مرکزی

SD: انحراف معیار داده‌ها

یافته (زاویه ۱۵۸-۲۹۶ درجه) در سال‌های ۱۳۴۶ و ۱۳۷۳ مشاهده نشدند اما در سال‌های ۱۳۸۲ و ۱۳۹۷ به ترتیب، ۱۱ و ۷ درصد از کل قوس‌ها را شامل شده‌اند که نشان‌دهنده تغییر حالت شکل قوس‌ها در سال‌های اخیر است.

بیشتر قوس‌های شلمان‌رود به صورت مئاندرهای توسعه یافته (زاویه ۱۵۸-۸۵ درجه) بوده و در سال‌های ۱۳۴۶، ۱۳۷۳، ۱۳۸۲ و ۱۳۹۷ به ترتیب ۷۹، ۸۱، ۶۲ و ۸۱ درصد کل قوس‌ها را شامل شده‌اند (جدول ۲). قوس‌های بیش از حد توسعه



شکل ۵: مقادیر پارامترهای مورفومتری پیچان‌رودهای شلمان‌رود طی دوره زمانی ۱۳۴۶-۹۷

جدول ۲: انواع پیچان‌رودهای شلمان‌رود براساس زاویه مرکزی قوس طی سال‌های ۹۷-۱۳۴۶

۱۳۹۷		۱۳۸۲		۱۳۷۳		۱۳۴۶		سال	نوع پیچان رود
درصد	تعداد	درصد	تعداد	درصد	تعداد	درصد	تعداد		
۱۱.۱۲	۳	۲۵.۹۲	۷	۱۸.۰۱	۵	۲۰.۸۳	۵	توسعه نیافته (۴۱-۸۵)	
۸۱.۴۸	۲۲	۶۲.۹۶	۱۷	۸۱.۴۹	۲۲	۷۹.۱۶	۱۹	توسعه یافته (۸۵-۱۵۸)	
۷.۴۰	۲	۱۱.۱۲	۳	۰	۰	۰	۰	بیش از حد توسعه یافته (۱۵۸-۲۹۶)	
۱۰۰	۲۷	۱۰۰	۲۷	۱۰۰	۲۷	۱۰۰	۲۴	مجموع	

توزیع نرمال بوده است از آزمون ویلکاکسون استفاده شد. نتایج تحلیل آماری در سطح معناداری 0.05 نشان می‌دهد که تغییر معناداری در مقدار میانگین این پارامترها در دوره‌های مختلف ایجاد نشده است (جدول ۳).

برای بررسی تغییرات میانگین پارامترها در سال‌های مختلف از آزمون‌های آماری استفاده گردید. با توجه به اینکه داده‌های طول و دامنه موج و زاویه مرکزی دارای توزیع نرمال بوده‌اند از آزمون t جفتی و برای متغیر شعاع قوس که فاقد

جدول ۳: نتایج آزمون آماری پارامترهای هندسی شلمان‌رود در دوره‌های مورد مطالعه

۱۳۹۷-۱۳۸۲	۱۳۸۲-۱۳۷۳	۱۳۷۳-۱۳۴۶	دوره	پارامتر هندسی
۰.۵۳۱	۰.۱۲۴	۰.۳۵۶	طول موج	
۰.۹۴۸	۰.۵۳۵	۰.۰۵۳	دامنه موج	
۰.۱۸۳	۰.۸۳۳	۰.۱۲۲	زاویه مرکزی	
۰.۸۸۵	۰.۴۵۶	۰.۱۹۹	شعاع قوس*	

* مقادیر Sig برای سه پارامتر اول از آزمون t جفتی و برای شعاع قوس از آزمون ویلکاکسون به دست آمده است.

کاهشی در این پارامتر است (جدول ۴). درصد همپوشانی کanal در دوره ۷۳-۴۶، ۱۳ درصد بوده است. اما در دوره‌های ۸۲-۷۳ و ۹۷-۸۲ به ترتیب به ۷۸ و ۸۶ درصد افزایش یافته است. پارامترهای مورفودینامیک کanal در پیچان‌رودهای شلمان‌رود در دوره‌های مورد بررسی ارتباط زیادی را نسبت به هم نشان می‌دهند. در طی سه دوره مهاجرت کanal و میزان فعالیت رود روند کاهشی

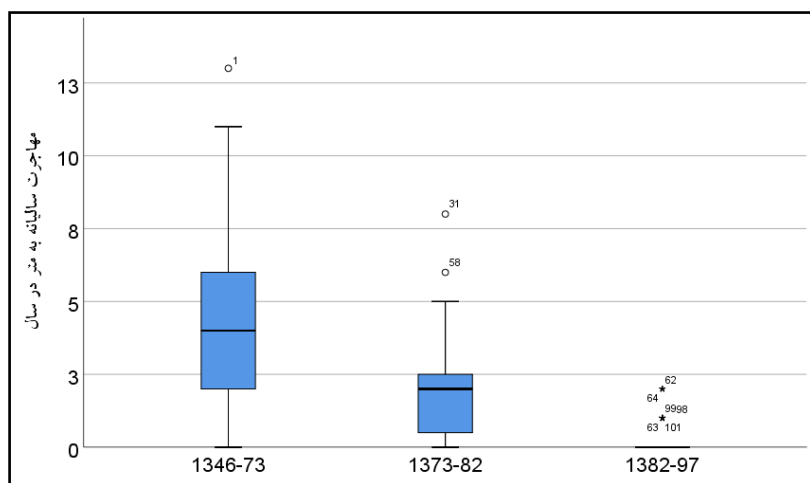
مورفودینامیک پیچان‌رودهای شلمان‌رود میانگین مهاجرت جانبی کanal در دوره ۷۳-۴۶، ۱۳۴۶ متر اندازه‌گیری شد که این مقدار در دوره‌های ۷۳-۸۲ و ۹۷-۸۲ به ترتیب به $21/9$ و $10/4$ متر کاهش یافته است (جدول ۴ و شکل ۶). میزان فعالیت کanal در سه دوره ۷۳-۴۶، ۸۲-۷۳ و ۹۷-۸۲ به ترتیب $2/77$ ، $1/22$ و $0/48$ متر در سال اندازه‌گیری شد که نشان دهنده یک روند

مورفودینامیک کanal طی ۲۵ سال اخیر یعنی طی دوره ۹۷-۸۲ و ۷۳-۸۲ است (شکل ۷).

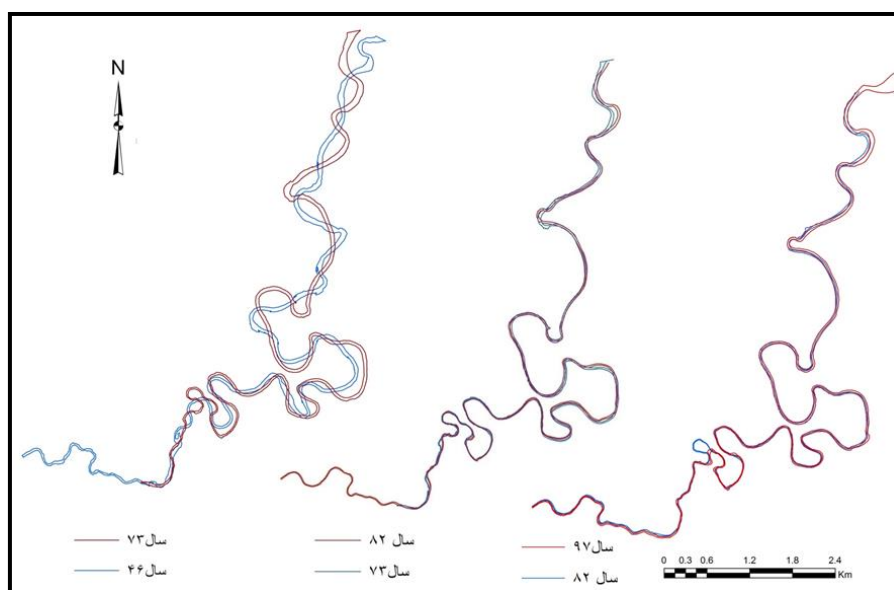
داشته و به تبع آنها میزان همپوشانی کanal روند افزایشی را نشان می‌دهد. این روند بیانگر کاهش

جدول ۴: مقادیر اندازه‌گیری شده پارامترهای مورفودینامیک رودخانه شلمان‌رود در دوره‌های ۱۳۴۶-۹۷

۹۷-۸۲	۸۲-۷۳	۷۳-۴۶	دوره زمانی پارامترها
۱۰.۴۲	۲۱.۸۹	۱۳۳.۳۱	میانگین مهاجرت جانبی به متر
۰.۴۸	۱.۲۲	۲.۷۷	میزان فعالیت کanal(متر در سال)
۸۶	۷۸	۱۳	میزان همپوشانی کanal(درصد)



شکل ۶: مقادیر مهاجرت جانبی کanal رود طی دوره‌های زمانی ۱۳۴۶-۹۷



شکل ۷: میزان مهاجرت و جابجایی رودخانه شلمان‌رود طی سال‌های ۱۳۴۶-۹۷

جانبی کanal برای همه دوره‌ها اختلاف معناداری آماری (Sig<0.05) دارد (جدول ۵).

تغییرات مهاجرت جانبی کanal با استفاده از آزمون آماری ویلکاکسون مورد بررسی قرار گرفت. نتایج تحلیل آماری نشان می‌دهد که تغییرات مهاجرت

جدول ۵: نتایج آماری (آزمون ویلکاکسون) مهاجرت جانبی کanal شلمان‌رود

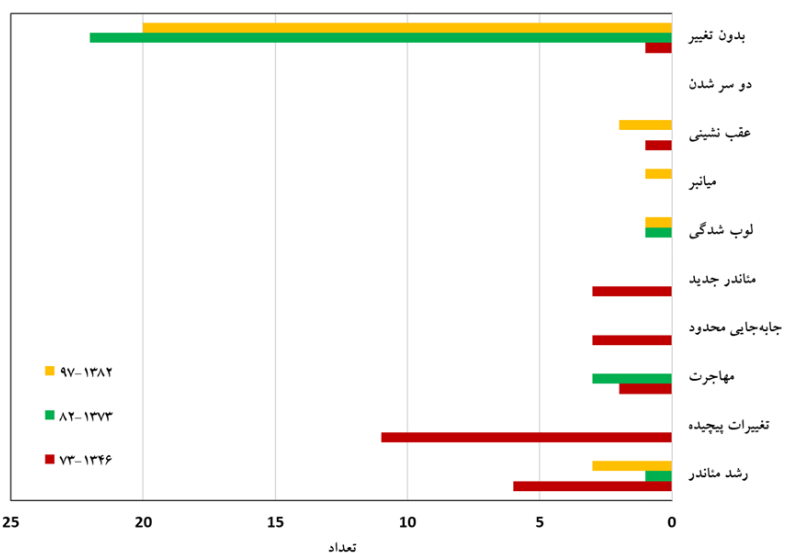
Sig	تعداد کل	تعداد رتبه مثبت	تعداد رتبه منفی	دوره‌های زمانی
0.002	۲۹	۸	۲۱	(۸۲-۷۳)-(۷۳-۴۶)
..	۳۱	۵	۲۶	(۹۷-۸۲)-(۸۲-۷۳)

الگوهای مهاجرت، رشد مئاندر و لوب شدگی بوده است. در دوره ۹۷-۱۳۸۲ الگوهای تغییرات تقریباً مشابه دوره قبلی و با مقداری تفاوت بوده است. در دوره سوم، اگرچه تغییرات نسبت به دوره قبلی کم بوده است اما یک مورد تغییر میانبری در کanal رود رخ داده است که در شکل ۹ نشان داده شده است.

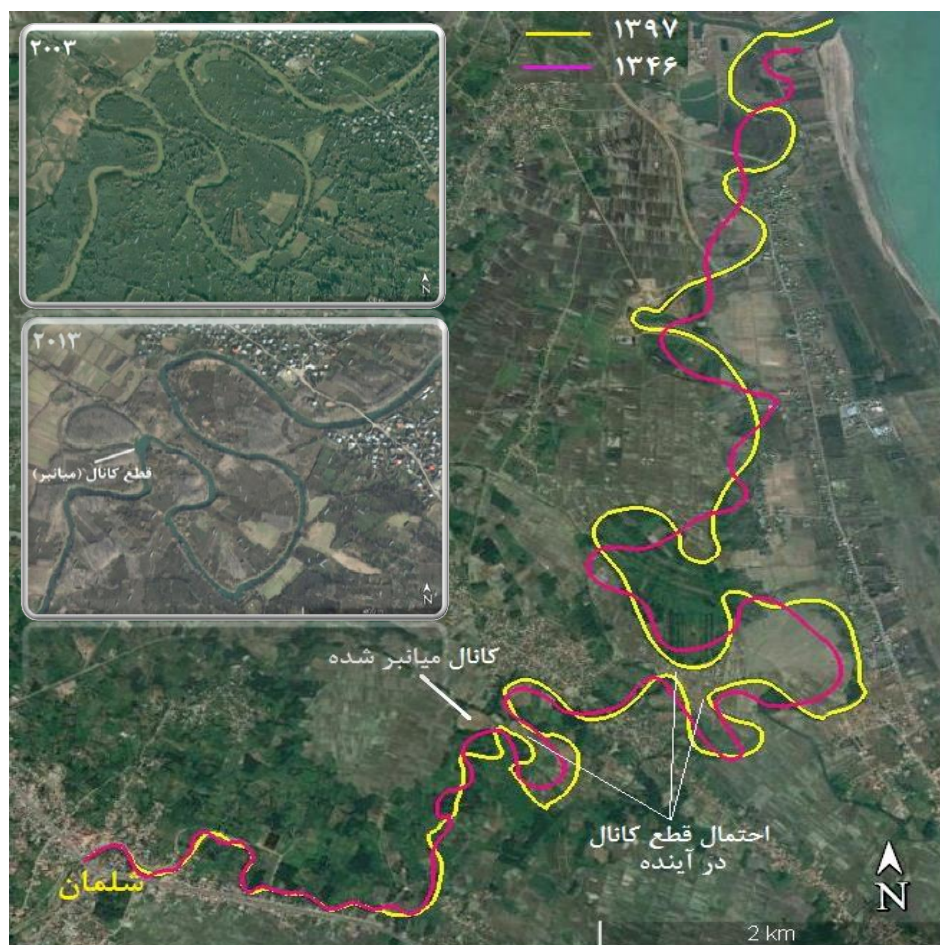
تغییرات مورفولوژیکی شلمان‌رود انواع مدل مهاجرت و تغییرات مورفولوژیکی پیچان‌رودها طی سه دوره در جدول ۶ و شکل ۸ نشان داده شده است. بر این اساس در دوره ۷۳-۱۳۴۶، تغییرات پیچیده و رشد مئاندر با مقدار ۶۷ درصد، بیشترین الگوی مهاجرت کanal بوده‌اند. طی دوره ۸۲-۱۳۷۳ تقریباً ۸۱ درصد کanal بدون تغییر بوده و ۱۹ درصد باقیمانده مربوط به

جدول ۶: تغییرات مورفولوژیکی پیچان‌رودهای شلمان‌رود طی سال‌های ۹۷-۱۳۴۶

۱۳۹۷-۱۳۸۲		۱۳۸۲-۱۳۷۳		۱۳۷۳-۱۳۴۶		دوره	ردیف
درصد	تعداد	درصد	تعداد	درصد	تعداد		
۱۱.۱۱	۳	۳.۷۱	۱	۲۲.۲۲	۶	رشد مئاندر	۱
--	--	--	--	۴۰.۷۴	۱۱	تغییرات پیچیده	۲
--	--	۱۱.۱۱	۳	۷.۴۰	۲	مهاجرت	۳
--	--	--	--	۱۱.۱۱	۳	جابه‌جایی محدود	۴
--	--	--	--	۱۱.۱۱	۳	مئاندر جدید	۵
۳.۷۱	۱	۳.۷۱	۱	--	--	لوب شدگی	۶
۳.۷۱	۱	--	--	--	--	میانبر	۷
۷.۴۰	۲	--	--	۳.۷۱	۱	عقب نشینی	۸
--	--	--	--	--	--	دو سر شدن	۹
۷۴.۰۷	۲۰	۸۱.۴۷	۲۲	۳.۷۱	۱	بدون تغییر	۱۰



شکل ۸: تغییرات مورفولوژیکی پیچان‌رودهای شلمان‌رود طی دوره زمانی ۹۷-۱۳۴۶



شکل ۹: تغییرات مئاندرهای شلمان‌رود طی سال‌های ۱۳۴۶ و ۱۳۹۷ و موقعیت قطع شدگی کanal (میانبر)

کرمانشاه هم، چنین نتایج مشابهی را نشان می‌دهد. کاهش مهاجرت کanal رود و افزایش میزان همپوشانی کanal رود خصوصاً در دوره ۹۷-۱۳۸۲ نشان دهنده‌ی کاهش فعالیت ژئومورفیک رود است. اشغال مناطق اطراف رود با کاربری‌های کشاورزی و مسکونی، احداث انواع دایک‌ها و تثبیت کناره در قسمت‌های مختلف رود از جمله عوامل تأثیرگذار بر کاهش فعالیت‌های ژئومورفیک کanal در محدوده کمرنگ پیچان‌رودی در شلمان-رود است. در شرایط فعلی، برداشت شن و ماسه از بستر و دشت سیلابی قسمت‌های بالادست بازه مورد مطالعه، پایین رفتن بستر (فروسايی کanal)، وجود رسوبات ریزدانه و سست در اندازه سیلت و ماسه در بستر و کرانه و تشکیل قوس‌های مئاندری توسعه یافته می‌تواند وقوع قطع شدگی کanal (میانبر) را در بازه‌های میانی افزایش داده و موجب ایجاد ناپایداری در تعادل رود شود. نتایج تحلیل‌های این تحقیق نشان می‌دهد که مطالعه‌ی ژئومورفولوژیکی رودخانه‌های پیچان‌رودی با استفاده از مجموع شاخص‌های مورفومتری، مورفو دینامیکی و مورفولوژیکی درک جامع و عمیق‌تری را برای تحلیل این نوع از رودخانه‌ها فراهم می‌آورد.

- اسماعیلی، ر.، لرستانی، ق. و بازیار، غ.، ۱۳۹۶. اثرات احداث سد بر ویژگی‌های پیچان‌رودی قسمت‌های میانی گرگان‌رود، پژوهش‌های جغرافیای طبیعی، دوره ۴۹، شماره ۴، ص ۶۵۷-۶۶۶.

نتیجه‌گیری

نتایج بررسی‌ها نشان می‌دهد که شاخص‌های مورفومتری شلمان‌رود شامل طول و دامنه موج و شعاع قوس در طی دوره‌های مورد مطالعه نسبت به مقدار میانگین تفاوت معناداری نداشته است. اما از نظر مورفو دینامیکی، خصوصاً میزان مهاجرت جانبی کanal، کاهش محسوسی را در طی زمان نشان می‌دهد. اگرچه مقدار مهاجرت جانبی کاهش یافته اما از نظر مورفو‌لوژی، نوع مهاجرت کanal تغییر یافته و در بازه‌های میانی، قطع شدگی کanal (میانبر) اتفاق افتاده است. رودخانه‌ها عموماً در حالت طبیعی تعادل دینامیکی دارند بدین صورت که شاخص‌ها و پارامترهای هندسی رود حول یک میانگین تغییر یافته و عملکرد ژئومورفیک رود در دشت سیلابی فعال است. در پیچان‌رودهای شلمان‌رود، علی‌رغم تغییرات ناچیز مقادیر پارامترهای هندسی رود، کاهش مقادیر شاخص‌های مورفو دینامیک رود اتفاق افتاده است. این شرایط نشان‌دهنده‌ی تغییر حالت رود از تعادل دینامیکی به تعادل استاتیکی است. نتایج به دست آمده در مطالعات Magdaleno and Fernández-Yuste (2011) در رودخانه ابرو اسپانیا، اسماعیلی و همکاران (۱۳۹۶) در گرگان‌رود و جباری و رستمی (۱۳۹۷) در رودخانه قره‌سو

منابع

اسفندياري، ف.، رحيمى، م. و رحيمى، م.، ۱۳۹۷. تحليل ميزان مهاجرت عرضي مجرای رودخانه ارس با استفاده از روش ترانسكت در طی سال‌های ۱۹۸۷-۲۰۱۶ (از سد خدا آفرین تا سد ميل مغان، پژوهش‌های ژئومورفولوژی كمی، دوره ۵، شماره ۴، ص ۴۱-۵۸).

- ژئومورفومتریکی، پژوهش‌های ژئومورفولوژی کمی، دوره ۵، شماره ۴، ص ۷۶-۱۰۲. رضایی مقدم، م.ح، نیکجو، م.ر، مختاری، م.ر، فاخری فرد، ا. و خوشدل، ک، ۱۳۹۷. بررسی پلان قوسی و تنوع در شاخص سینوسی رودخانه کلیبرچای، نشریه جغرافیا و برنامه‌ریزی، دوره ۲۲، شماره ۶۴، ص ۸۱-۱۰۱.
- رضایی مقدم، م.ح. و پیروزی‌نژاد، ن، ۱۳۹۳. بررسی تغییرات مجرأ و فرسایش کنارهای در رودخانه گاما‌سیاب از سال ۱۳۳۴ تا ۱۳۸۹، نشریه جغرافیا و برنامه‌ریزی، دوره ۱۸، شماره ۴۷، ص ۱۰۹-۱۳۲.
- سلطانی گرد فرامرزی، س، عسگری ورزیده، س. و تازه، م، ۱۳۹۷. بررسی روند تغییرات زاویه مرکزی و شعاع مرکزی در مئاندرهای رودخانه گاما‌سیاب با استفاده از سنجش از دور و سیستم اطلاعات جغرافیایی، نشریه جغرافیا و برنامه‌ریزی، دوره ۲۲، شماره ۶۳، ص ۲۲۵-۲۴۰.
- کهربائیان، پ، بهنیافر، ا، شاکری زارع، ح. و رضایی عارفی، م، ۱۳۹۷. تحولات مورفولوژیکی و الگوی پیچان‌رودی بستر رودخانه مرزی هربرود با استفاده از RS، پژوهش‌های ژئومورفولوژی کمی، دوره ۳، شماره ۳، ص ۵۳-۶۴.
- وزارت نیرو، ۱۳۹۰. گزارش ریخت‌شناسی رودخانه شلمان‌رود، شرکت سهامی آب منطقه‌ای گیلان، ۳۸ ص.
- یمانی، م. و حسین‌زاده، م.م، ۱۳۸۳. بررسی الگوی پیچان‌رودی رودخانه تالار با استفاده از شاخص‌های ضریب خمیدگی و زاویه مرکزی، تحقیقات جغرافیایی، دوره ۱۹، شماره ۲، ص ۱۴۴-۱۵۴.
- یمانی، م، رحیمی، م. و ویسی، ع، ۱۳۹۷. مورفومتری و مقایسه تغییرات عرضی رودخانه
- اصغری سراسکان‌رود، ص، ۱۳۹۵. بررسی پتانسیل تغییرات مورفولوژیک رودخانه شهرچای ارومیه، نشریه جغرافیا و برنامه‌ریزی، دوره ۲۰، شماره ۵۷، ص ۴۹-۶۲.
- بیاتی خطیبی، م، ۱۳۹۳. بررسی تغییرات پیچان‌رود آجی‌چای در پهنه سیلاب دشت، نشریه جغرافیا و برنامه‌ریزی، دوره ۱۸، شماره ۴۹، ص ۵۵-۷۹.
- پیروزی‌نژاد، ن. و پیروزی‌نژاد، س، ۱۳۹۷. بررسی تغییرات پلان‌فرم و شعاع قوس‌های مئاندر رودخانه گاما‌سیاب یا استفاده از روش‌های آماری از سال ۱۳۳۴ تا ۱۳۸۹، پژوهش‌های ژئومورفولوژی کمی، دوره ۴، شماره ۳، ص ۹۷-۱۱.
- جباری، ا. و رحیمی جاوید، ط، ۱۳۹۷. حساسیت شاخص‌های شکل و تحولی مئاندرها به پویایی رودخانه‌های کوچک (مطالعه موردی: رودخانه قره سو در کرمانشاه)، پژوهش‌های جغرافیای طبیعی، دوره ۵۰، شماره ۳، ص ۴۵۹-۴۷۱.
- حسین‌زاده، م.م. و اسماعیلی، ر، ۱۳۹۴. ژئومورفولوژی رودخانه‌ای، مفاهیم، اشکال و فرآیندها، انتشارات دانشگاه شهید بهشتی، تهران، ۳۳۸ ص.
- حسین‌زاده، م.م، شیروド عیسی، ن. و اسماعیلی، ر، ۱۳۹۷. اثرات نامطلوب برداشت شن و ماسه بر سیستم رودخانه‌ای، مطالعه موردی: رودخانه شیرود تنکابن (استان مازندران)، پژوهش‌های دانش زمین، سال نهم، شماره ۳۴، ص ۱۶۵-۱۷۵.
- خیری‌زاده آروق، م، رضایی‌مقدم، م.ح، رجبی، م. و دانش فراز، ر، ۱۳۹۷. تحلیل تغییرات جانبی مجرای رودخانه زرینه رود با استفاده از روش‌های

کمی، دوره ۳، شماره ۴، ص ۷۴-۸۹

ارس طی سه دهه اخیر مطالعه موردی، پایین
دست سد میل مغان، پژوهش‌های ژئومورفولوژی

- Brierley, G.J. and Fryirs, K.A., 2005. Geomorphology and River Management, Applications of the River Styles Framework, Blackwell, Oxford, 398 p.
- Güneralp, I., Abad, J.D., Zolezzi, G. and Hooke, J., 2012. Advances and challenges in meandering channels research, *Geomorphology*, v. 163, p. 1-9.
- Hooke, J.M., 2007. Spatial variability, mechanisms and propagation of change in an active meandering river, *Geomorphology*, v. 84, p. 277-296.
- Hooke, J.M. and Yorke, L., 2010. Rates, distributions and mechanisms of change in meander morphology over decadal timescales, *Earth Surface Processes and Landforms*, v. 35, p. 1601-1614
- Li, Z., Yu, G., Brierley, G.J., Wang, Z. and Jia, Y., 2017. Migration and cutoff of meanders in the hyperarid environment of the middle Tarim River, northwestern China, *Geomorphology*, v. 276, p. 116-124.
- Magdaleno, F. and Fernández-Yuste, J.A., 2011. Meander dynamics in a changing river corridor, *Geomorphology*, v. 130, p. 197-207.
- Morais, E.S., Rocha, P.C. and Hooke, J., 2016. Spatiotemporal variations in channel changes caused by cumulative factors in a meandering river: The lower Peixe River, Brazil, *Geomorphology*, v. 273, p. 348-360.
- Nicoll, T.J. and Hickin, E.J., 2010. Planform geometry and channel migration of confined meandering rivers on the Canadian prairies, *Geomorphology*, v. 116, p. 37-47.
- Ollero, A., 2010. Channel changes and floodplain management in the meandering middle Ebro River, Spain, *Geomorphology*, v. 117, p. 247-260.
- Schuurman, F., Shimizu, Y., Iwasaki, T. and Kleinhans, M.G., 2016. Dynamic meandering in response to upstream perturbations and floodplain formation, *Geomorphology*, v. 253, p. 94-109.
- Seminara, G., 2006. Meanders, *Journal of Fluid Mechanics*, v. 554, p. 271- 297.
- Yousefi, S., Pourghasemi, H.R., Hooke, J., Navartil, O. and Kidová, A., 2016. Changes in morphometric meander parameters identified on the Karoon River, Iran, using remote sensing data, *Geomorphology*, v. 271, p. 55-64.
- Zhou, M., Xia, J., Lu, J., Deng, S. and Lin, F., 2017. Morphological adjustments in a meandering reach of the middle Yangtze River caused by severe human activities, *Geomorphology*, v. 285, p. 325-332.